

## ПОИСКИ ЛИНИЙ ТЯЖЕЛЫХ ЭЛЕМЕНТОВ В СПЕКТРЕ Ар-ЗВЕЗДЫ $\nu$ Cnc (HD 77350)

*Ю. В. Глаголевский, К. И. Козлова*

Для звезды  $\nu$ Cnc = HD 77350 (B9p, Si—Cr—Sr) в области  $\lambda\lambda$  3850—4650 Å по десяти спектрам с дисперсией 8 Å/мм обнаружены линии тяжелых химических элементов ( $z \geq 74$ ): WI, OsI, II и HgI, II.

The lines of heavy chemical elements ( $z \geq 74$ ): WI, OsI, OsII, HgI and HgII have been detected for the star  $\nu$ Cnc=HD 77350 (B9p, Si—Cr—Sr) in the region  $\lambda\lambda$  3850—4650 Å from ten spectrograms with a dispersion of 8 Å/mm.

Поиски линий тяжелых химических элементов ( $z \geq 74$ ) в спектрах пекулярных Ар-звезд приобрели в настоящее время большой научный интерес. Уже получены данные о содержании в атмосферах Ар-звезд вольфрама [1—3], осмия (OsI, OsII) [1, 3—7], ртути (HgI, HgII) [2, 8—10], трансурановых [1] и других элементов, что указывает, как известно, на существование в прошлом или на наличие в настоящее время ядерного синтеза с медленным (*s*-процессом) или с быстрым (*r*-процессом) захватом нейтронов [11]. Известно, что *r*-процесс является единственным в природе, ответственным за производство сверхтяжелых химических элементов ( $z > 83$ ). Поэтому очень важно получить больше информации о присутствии и свойствах тяжелых и сверхтяжелых элементов, которые, по-видимому, наблюдаются только в атмосферах Ар-звезд. Эти сведения открывают новые возможности в теории эволюции Ар-звезд и в происхождении химических аномалий в их атмосферах.

Звезда  $\nu$ Cnc (HD 77350, Sp=9p, типа Si—Cr—Sr,  $v \sin i = 16$  км/сек.) имеет сравнительно небольшое магнитное поле (He), изменяющееся в пределах 105—470 гс [12]. В нашем предыдущем исследовании этой звезды [13] были получены данные о переменности интенсивностей и лучевых скоростей некоторых спектральных линий и был найден период этих изменений  $P = 4^d 191$ . Несмотря на небольшие спектральные изменения  $\nu$ Cnc, их характер соответствует общим свойствам Ар-звезд. Фотометрическая переменность  $\nu$ Cnc не превышает  $\Delta m = 0^m 006$  [14].

**Результаты исследования.** Спектры  $\nu$ Cnc с дисперсией 8 Å/мм (10 шт.) в области  $\lambda\lambda$  3850—4650 Å получены на ЗТШ Крымской астрофизической обсерватории АН СССР. Поиск линий тяжелых элементов проводился по регистрограммам, полученным на микрофотометре с записью в прямых интенсивностях с увеличением 50 раз. Для отождествления линий использовались каталоги [15—19] и работы [1—11, 20]. Найденная линия считалась достоверной, если она обнаруживалась более чем на 5 спектрах из 10. Наиболее слабая линия, которую мы могли уверенно выделить среди «шумов» фотопластинки, имела эквивалентную ширину  $W_\lambda > 7 \div 9$  мÅ. Названия элементов отождествленных линий, их длины волн ( $\lambda$ ) и эквивалентные ширины ( $W_\lambda$ ), а также замечания по возможному бландированию и другие данные приведены в табл. 1. Спектр  $\nu$ Cnc богат линиями,

ТАБЛИЦА 1

Элемент	Потенциал ионизации, эВ	$\lambda$ , Å	Потенциал возбуждения, эВ	Номер мультиплета	$W_\lambda$ , мÅ	Число спектральных линий $n$	$\log g/\lambda$ [21]	Примечания
$W\text{I}$ $z=74$	7.98	4008.77	0.36	6	11	6	+3.24	Блендируется с $Ti\text{I}$ $\lambda$ 4008.92 ( $M=12$ ), остальные линии из мультиплета $M=12$ представлены в блендах. Линия $W\text{I}$ ( $M=6$ ) имеется в спектре Солнца [18]
		4074.36	0.36	6	8	6	+2.97	Блендируется с $Ti\text{I}$ $\lambda$ 4074.36 ( $M=254$ ), остальные линии из мультиплета $M=254$ представлены в спектре, из них две линии $Ti\text{I}$ $\lambda\lambda$ 4060.09 и 4068.66 не блендированные, остальные находятся в блендах. Линия $W\text{I}$ (6) имеется в спектре Солнца [18]
		4294.62	0.36	6	13	6	+3.00	Линия уверенная. Слегка блендируется с $Zr\text{I}$ $\lambda$ 4294.78 ( $M=45$ ). Линия $W\text{I}$ $\lambda$ 4294.62 имеется в спектре Солнца [18]
		4302.43	0.36	7	7	5	+2.56	Расположена на крыле линии $Ti\text{II}$ $\lambda$ 4301.93 ( $M=41$ )
		4244.37	0.77	1	12	6	+2.37	Сливается с $Cr\text{I}$ $\lambda$ 4244.33 ( $M=240$ ), остальные линии мультиплета $M=240$ представлены в спектре, из них одна $Cr\text{I}$ $\lambda$ 4260.19 не блендированная, остальные в блендах (сливаются)
		4219.38	0.77	3	9	6	+2.04	Сливается с $Fe$ $\lambda$ 4219.36 ( $M=800$ ) и $Fe\text{I}$ $\lambda$ 4219.41 ( $M=419$ ). Мультиплет $M=800$ состоит всего из одной линии. Линии мультиплета $M=419$ для $Fe\text{I}$ представлены в спектре в блендах
		4047.95	0.21	4	10	5	+0.80	Блендируется с $Cr\text{II}$ $\lambda$ 4048.02 ( $M=182$ ), остальные линии мультиплета $M=182$ очень слабые и находятся в блендах
$Os\text{I}$ $z=76$	8.7	4420.477	0.00	1	12	8	+2.59	Блендируется с $Zr\text{I}$ $\lambda$ 4420.45 ( $M=61$ ), остальные линии мультиплета $M=61$ также представлены в спектре. Линия $Os\text{I}$ $\lambda$ 4420.47 ( $M=1$ ) имеется в спектре Солнца [18]
		4260.85	0.00	1	12	8	+2.64	Сливается с $Ti\text{I}$ $\lambda$ 4260.74 ( $M=25$ ), $V\text{II}$ $\lambda$ 4260.75 ( $M=18; 24$ ) и $Fe\text{I}$ $\lambda$ 4260.73 ( $M=35$ )
		4311.40	0.64	—	10	8	+2.32	Уверенная линия. Не блендируется
$Os\text{II}$ $z=76$	17	4399.27	2.7	—	13	8	—	Линия уверенная, лежит на левом крыле линии $Ti\text{II}$ $\lambda$ 4399.76. Блендируется с $Zr\text{II}$ $\lambda$ 4399.44 ( $M=67$ ) и $Ce\text{II}$ $\lambda$ 4399.20 ( $M=81$ ). $Os\text{II}$ $\lambda$ 4399.27 отождествлена в спектре Солнца как $Fe\text{I}$ [19]
		3984.04	—	—	31	6	—	Линия уверенная. Слегка блендируется с $Cr\text{I}$ $\lambda$ 3983.91 ( $M=38$ ), остальные линии мультиплета $M=38$ не представлены в спектре (одни сливаются с блендами, другие — очень слабые и показывают только следы)

ТАБЛИЦА 1 (продолжение)

Элемент	Потенциал ионизации, эВ	$\lambda, \text{ \AA}$	Потенциал возбуждения, эВ	Номер мультиплета	$W, \text{ мА}$	Число спектров $n$	$\log g f \lambda [21]$	Примечания	
								Лежит на правом крыле линии H <sub>γ</sub> . Блендируется слегка с FeI $\lambda 4358.51 (M=412)$	Следы » »
HgI <sub>z=80</sub>	10.43	4358.34	4.87	1	13	9	—		
OsI		4550.41 51.30 97.16	— — —	— — —	— — —	8 8 8	— — —		

поэтому «чистых», неблендируемых линий вообще мало. Часты случаи, когда линия блендируется, но хорошо заметна. Большое число линий искомых элементов очень слабы и поэтому говорить уверенно об их присутствии в спектре трудно. Подавляющее большинство линий тяжелых химических элементов совпадает по длине волн с другими элементами, а поскольку силы осцилляторов как для тех, так и для других часто неизвестны, то объективная оценка при отождествлении затруднена. В этом состоит одна из многих сложностей поиска линий тяжелых элементов в спектрах Ар-звезд.

Рассмотрим условия наиболее вероятных идентификаций линий тяжелых элементов в спектре  $\nu$ Cnc.

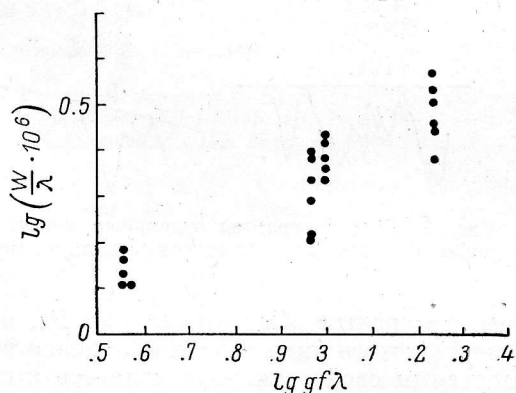


Рис. 1. Кривая роста для звезды  $\nu$ Cnc, построенная по линиям WI.

1. Вольфрам. Уверенно отождествляются линии WI  $\lambda\lambda 4294.62$  и  $4302.13 \text{ \AA}$ , на основании которых мы делаем вывод о присутствии вольфрама в атмосфере  $\nu$ Cnc. С линией WI  $\lambda 4294.62 \text{ \AA}$  практически совпадает ZrI  $\lambda 4294.78 \text{ \AA}$  ( $M=45$ ), однако другие члены сорок пятого мультиплета циркония в спектре не найдены. Доводом в пользу присутствия WI является также кривая роста, построенная нами по линиям его шестого и седьмого мультиплетов:  $\lambda\lambda 4008.77, 4074.36, 4294.62, 4302.13 \text{ \AA}$  (рис. 1). Из рисунка видно, что кривая роста носит плавный характер и можно считать, что влияние бленд незначительно. На рис. 2 приводим часть регистрограммы, на которой указано положение линий вольфрама и ближайших бленд.

2. Осмий. Мы подозреваем наличие как OsI, так и OsII. Уверенно отождествляются только линии OsI  $\lambda 4311.40$  и OsII  $\lambda 4399.27 \text{ \AA}$ , причем первая линия ничем не блендируется (рис. 2). Вторая линия совпадает по длине волн с CeII  $\lambda 4399.20$ , однако ни одна из линий CeII того же мультиплета не была найдена в спектре. Поэтому можно считать, что осмий отождествляется уверенно.

3. Ртуть. Уверенно отождествляются две линии ртути: HgII  $\lambda 3984.04$  и HgI  $\lambda 4358.34$ . Линия HgII  $\lambda 3984.04$  была найдена нами ранее [13].

**Обсуждение результатов.** Таким образом, с большой степенью достоверности мы обнаружили в атмосфере  $\nu$ Cnc три тяжелых элемента: вольфрам, осмий и ртуть. Это указывает на существование ядерных реакций

в настоящее время или на то, что они были в прошлом. В этих случаях следует предполагать, что элементы поставляются непрерывно или вещества не перемешиваются (или перемешивается слабо) вследствие замороженности в магнитном поле. Найденные элементы, как известно, образуют характерный пик содержания тяжелых элементов с  $74 \leq z \leq 83$ , образовавшихся вследствие  $r$ -процесса. В то же время остается непонятным,

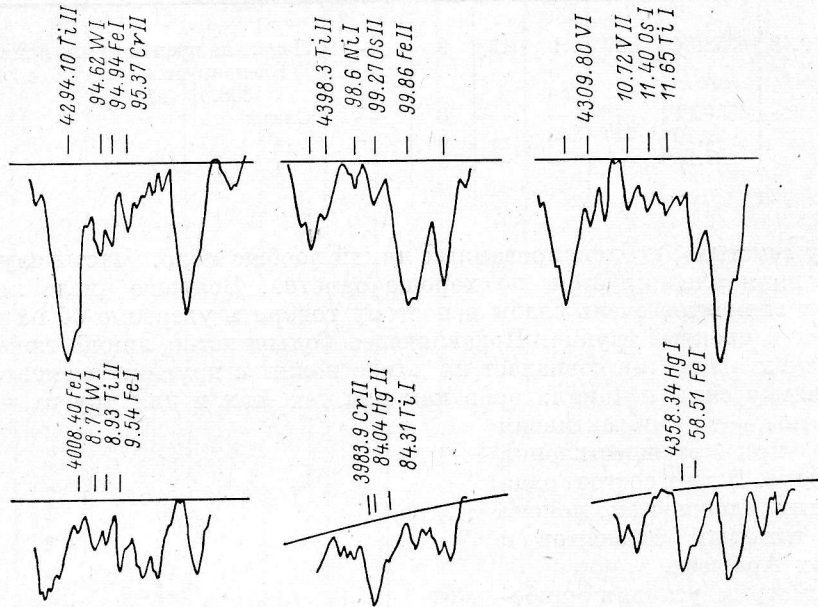


Рис. 2. Регистрограммы отдельных участков видимого спектра  $\nu$ Cnc, содержащие линии тяжелых химических элементов WI, OsI, OsII, HgI и HgII.

почему в спектре  $\nu$ Cnc отсутствует Pt, являющаяся также характерным элементом этого пика и наблюдавшаяся в других Ар-звездах [7]. Вторым интересным свойством  $\nu$ Cnc является отсутствие линий редкоземельных элементов, хотя они тоже должны образоваться при  $r$ -процессе. В то же время линии других элементов усилены, особенно Sr, Si, Cr, как и у многих других Ар-звезд.

ТАБЛИЦА 2

Звезда	$T_{\text{эфф}}$ , °К	Тип пекулярности	Тяжелые химические элементы									Источник
			W	Re	Os	Ir	Pt	Hg	Pb	U	Am	
HD 220825	11200	Sr Cr Eu Si	+	+	+	+	+					[3]
HD 77350 ( $\nu$ Cnc)	11600	Si Cr Sr	+		+			+	+			Данное исследование
HD 18296 (21Per)	11700	Sr Cr Fu Si	+		+			+	+			[22]
HD 143807 (iCrB)	11700	Mn Hg						+			+	[23]

В табл. 2 приведены данные о наличии тяжелых химических элементов в атмосферах Ар-звезд, имеющих близкую с  $\nu$ Cnc эффективную температуру  $T_{\text{эфф}}$ .

Из таблицы видно, что набор тяжелых элементов у звезд различен и это свидетельствует о крайне неодинаковых условиях их образования. Основные физические параметры этих звезд (эффективные температуры,

давление, строение атмосфер и др.), как показали исследования, не могут резко отличаться. Значительное различие наблюдается у них, как правило, в напряженности и структуре магнитного поля, а также в распределении элементов по поверхности звезды и степени их концентрации. Вероятно, эти свойства, а также набор тяжелых элементов у пекулярных звезд связаны с каким-то общим механизмом их образования. Одним из таких механизмов может быть ядерный синтез [24], проходящий в активных областях звезд. Набор элементов в таком случае будет зависеть от энергии ускорения частиц, их плотности, длительности процесса, а также плотности и химического состава слоев, в которых происходит синтез элементов. Последнее время многие исследователи указывают на существование кратковременных изменений блеска и профилей (формы) водородных линий бальмеровской серии у ряда Ар-звезд, свидетельствующих о наличии нестационарных явлений в их атмосферах. Определенное число Ар-звезд являются спектроскопическими двойными, вследствие чего приливные течения в их атмосферах несомнены (у ряда Ар-звезд подозревается также наличие короткоживущих элементов). Таким образом, имеющиеся данные указывают на то, что атмосферы пекулярных звезд не могут быть совершенно стабильными, и поэтому набор элементов, сконцентрированных в «пятнах», и размеры «пятен» необходимо постоянно поддерживать.

#### Список литературы

1. J a s h e k M., B r a n d y E. Transuranium elements in HD 2534. — Astron Astrophys., 1972, **20**, N 2, p. 233—235.
2. G u t h r i e B. N. G. The Os—Pt—Hg abundance peak in Ap-stars and the problem of very heavy cosmic rays. — Astrophys. Space Sci., 1972, **15**, N 2, p. 214—228.
3. G a l e o t t i P. Evidence for *r*-process elements in HR 8911. — Astrophys. Space Sci., 1974, **31**, N 1, p. 193—201.
4. C o w l e y C. R., H a r t o o g M. R., A l l e r M. F., C o w l e y A. P. Abundances of trace elements in HR 465: Evidence for the *r*-process. — Astrophys. J., 1973, **183**, N 1, p. 127—131.
5. H a r t o o g M. R., C o w l e y C. R., C o w l e y A. P. The application of wavelength coincidence statistics to line identification: HR 465 and HR 7575. — Astrophys. J., 1973, **182**, N 3, p. 847—858.
6. A d e l m a n S. I. Line identifications, elemental abundances and equivalent widths for 21 sharp-lined cool peculiar A stars and two comparison standards. — Astrophys. J. Suppl., 1973, **26**, N 226, p. 1—18.
7. C o w l e y C. R., H a r t o o g M. R., C o w l e y A. P. Element identifications in five Ap-stars. — Astrophys. J., 1974, **194**, N 2, p. 343—354.
8. G u t h r i e B. N. G. Yttrium and mercury in Mn-type peculiar A stars. — Astrophys. Space Sci., 1971, **10**, N 1, p. 156—164.
9. W h i t e R. E., V a u g h a n A. H., P r e s t o n J. G. W., S w i n g s I. P. — Isotopic abundances of Hg in mercury stars inferred from HgII  $\lambda$  3984. — Astrophys. J., 1976, **204**, N 1, p. 131—140.
10. C o w l e y C. R., A i k m a n G. C. A study of the 3984 feature in the mercury-manganese stars. — Publ. Astron. Soc. Pacific, 1975, **87**, N 518, p. 513—521.
11. K u x o v i c h B. Пекулярные Ар-звезды: адекватный способ проверки *r*-процессов. — VI Ленинградский международный семинар, 1974, с. 297—308.
12. B a b c o c k H. W. A. Catalog of magnetic stars. — Astrophys. J., 1958, **3**, Suppl. N 30, p. 149—210.
13. K o z l o v a K. I., G l a g o l e v s k i y J. B., K l o c h k o v a B. F. Предварительные результаты спектрофотометрического исследования магнитной Ар-звезды γ Спас. — Магнитные Ар-звезды. Баку, «ЭЛМ», 1974, с. 75—80.
14. B u r k e E. W., R o l l a n d W. W., B o u y W. R. A photoelectric study of magnetic variable stars. — J. R. Astron. Soc. Can., 1970, **64**, N 6, p. 353—364.
15. M o o r e C. E., M i n n a e r t M. G. J., H e u t g a s t J. Solar spectrum 2935 Å to 8770 Å. Washington, 1966. 100 p. (Nat. Bureau of Standards, Monograph, 61).
16. M o o r e C. E. A multiplet table of astrophysical interest. — Contr. Princeton Univ. Obs., 1945, N 20, p. 1—110.
17. Z a i d e l' y A. N., P r o k o f' yev B. K., R a i s k i y C. M., C l a v n i y B. A., S h r e i d e r E. L. Таблицы спектральных линий. М., «Наука», 1969. 782 с.
18. W e h r s e R. A list of all Fraunhofer lines of the Rowland tables arranged by elements. Heidelberg, 1974, p. 2—105.
19. P i e r c e A. K., B r e c k i n r i d g e I. B. The Kitt Peak table of photographic solar spectrum wavelengths. — Kitt Peak Nat. Obs. Contr., 1974, N 559, p. 1—43.

20. Глаголевский Ю. В., Козлова К. И., Полосухина Н. С. Спектрофотометрическое исследование магнитнопеременной звезды 21 Per. I. — Астрофизика, 1974, 10, вып. 4, с. 517—533.
21. Корлис Ч., Бозман У. Вероятности переходов и силы осцилляторов 70 элементов. М., «Мир», 1968. 562 с.
22. Глаголевский Ю. В., Козлова К. И., Чунакова Н. М. Об эффективных температурах необычных металлических звезд. — Астрофиз. исслед. (Изв. САО), 1973, 5, с. 52—69.
23. Bidelman W. P. Line identifications in peculiar stars. — Abundance Determination in stellar Spectra, I. A. U., Symposium 1966, N 26, p. 229—234.
24. Пикельнер С. Б., Хохлова В. Л. Магнитные звезды. — Усп. физ. наук, 1972, 107, вып. 3, с. 389—404.